

Письма в ЖЭТФ, том 18, вып. 9, стр. 572 – 575 5 ноября 1973 г.

ГИГАНТСКИЙ ЭФФЕКТ ФАРАДЕЯ И ОПТИЧЕСКОЕ ПОГЛОЩЕНИЕ В ЭПИТАКСИАЛЬНЫХ ПЛЕНКАХ

СИСТЕМЫ $Y_{3-x}Bi_xFe_{5-y}Al_yO_{12}$

**А. М. Балбашов, А. Я. Червенекис, А. П. Черкасов,
В. Е. Багиевузов, А. А. Цветкова, В. П. Чепарин**

Методом жидкой эпитаксии выращены монокристаллические магнитоодноосные пленки $Y_{3-x}Bi_xFe_{5-y}Al_yO_{12}$ граната. В диапазоне длин волн 0,5 – 1,0 мкм измерено фарадеевское вращение, коэффициент оптического поглощения, магнитные характеристики пленок и параметры доменной структуры. Установлено, что полученный материал обладает рекордно большой оптической добротностью и стабильной ЦМД структурой.

В монокристаллических гранатовых пленках системы $Y_{3-x}Bi_xFe_{5-y}Al_yO_{12}$ обнаружен аномально большой уровень эффекта Фарадея (ЭФ), превы-

шающий в видимом диапазоне 50000 рад/см , что во много раз больше ЭФ во всех известных неметаллических магнетиках при комнатной температуре. Благодаря относительно высокой прозрачности пленок в области $\lambda < 0,5 \text{ мкм}$, их магнитооптическая добротность ψ (отношение удельного фарадеевского вращения ϕ_F к коэффициенту поглощения α) также необычно велика.

Пленки составов $\text{Y}_{2,35}\text{Bi}_{0,65}\text{Fe}_{4,25}\text{Al}_{0,75}\text{O}_{12}$ (1) и $\text{Y}_{2,05}\text{Bi}_{0,95}\text{Fe}_{3,9}\text{Al}_{1,1}\text{O}_{12}$ (2) получены методом жидкофазной эпитаксии из раствора $\text{PbO} - \text{B}_2\text{O}_3 - \text{Bi}_2\text{O}_3$. Подложки приготавляли из монокристаллов $\text{Gd} - \text{Ga}$ граната, выращенных бестигельной зонной плавкой с радиационным нагревом [1].

Толщину пленок контролировали интерферометрически. Оптические спектры поглощения выполняли с помощью двухлучевого спектрофотометра СФ-8. Зависимость ЭФ от длины волны снимали с использованием набора диэлектрических интерференционных светофильтров с полушириной полосы пропускания $\sim 50 \text{ \AA}$. Химический состав пленок определяли с помощью рентгеноспектрального микроанализатора МАР-2 и поликристаллических эталонов. Статические магнитные характеристики рассчитывали из полевой зависимости параметров доменной структуры [2, 3].

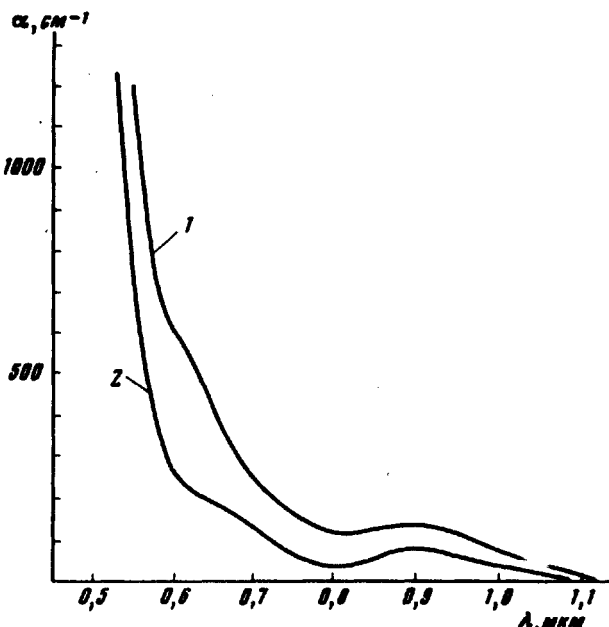


Рис. 1. Спектры поглощения в видимой и ближней ИК областях:
1— $\text{Y}_{2,35}\text{Bi}_{0,65}\text{Fe}_{4,25}\text{Al}_{0,75}\text{O}_{12}$
и 2— $\text{Y}_{2,05}\text{Bi}_{0,95}\text{Fe}_{3,9}\text{Al}_{1,1}\text{O}_{12}$

На рис. 1 приведены спектры поглощения пленок в видимой области спектра, а на рис. 2 их магнитооптические характеристики. Видно, что для пленки 1 величина ЭФ выше, чем для пленки 2, однако параметр ψ выше для пленки 2, что объясняется существенно более высокой прозрачностью последней. Для обоих составов величина ψ намного выше, чем для чистого железо-иттриевого граната.

При выращивании монокристаллов и пленок Bi_2 -содержащих гранатов из свинцовых растворителей примеси Pb существенно ухудшают прозрачность в видимой области. Введение нами в состав растворителя окиси висмута позволило, как показал микроанализ, почти пол-

ностью исключить загрязнение пленок свинцом. Замещение иттрия и железа соответственно ионами Bi^{3+} и Al^{3+} оказывает противоположное влияние на уровень прозрачности пленок: алюминий, разбавляя железные подрешетки, снижает интенсивность электронных переходов Fe^{3+} , что ведет к росту прозрачности в видимой и ближней ИК областях; висмут, смещаая в длинноволновую область край фундаментального поглощения, способствует ухудшению прозрачности в области $\lambda < 0,65 \text{ мкм}$. Совместное действие этих механизмов приводит к тому, что в случае пленки 2 прозрачность в видимом свете почти такая же, как и для чистого железо-иттриевого граната.

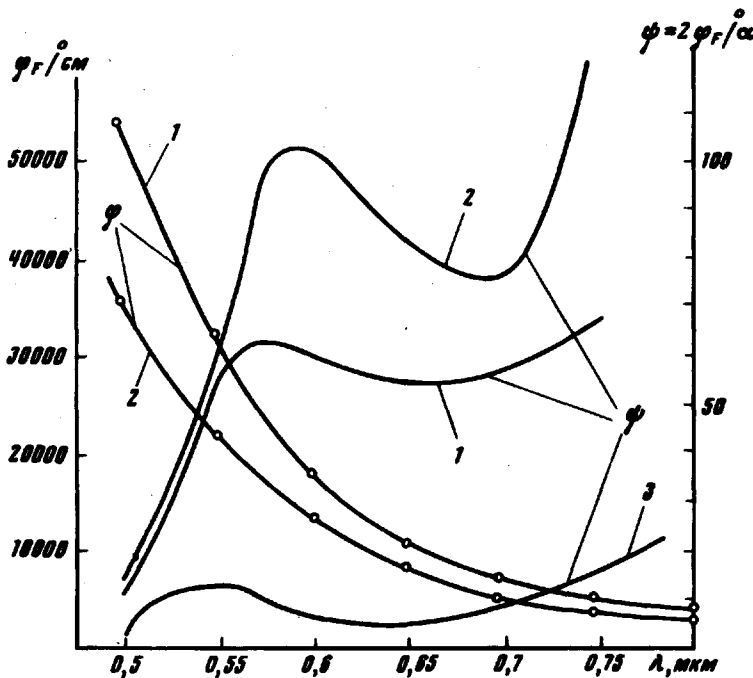


Рис. 2. Удельное фарадеевское вращение (ϕ_F) и магнито-оптическая добротность (ϕ) в видимой области: 1 – $\text{Y}_{2,35}\text{Bi}_{0,65}\text{Fe}_{4,25}\text{Al}_{0,75}\text{O}_{12}$; 2 – $\text{Y}_{2,05}\text{Bi}_{0,95}\text{Fe}_{3,9}\text{Al}_{1,1}\text{O}_{12}$; 3 – $\text{Y}_3\text{Fe}_5\text{O}_{12}$

Рост фарадеевского вращения в феррогранатах при введении в них ионов Bi^{3+} принято связывать с появлением при этом дополнительных электронных переходов между ионами Fe^{3+} с тетраэдрическим окружением и кислородом [4, 5]. Такие переходы с энергией $\sim 2,6 \text{ эВ}$ становятся возможными благодаря смешиванию орбиталей висмута с орбиталами кислорода, что ведет к резкому росту спинорбитального взаимодействия электронов на $2p$ кислородной орбитали [4]. Обнаруженный нами аномально высокий уровень ЭФ в пленках, содержащих значительное количество алюминия, позволяет усомниться в правильности указанного механизма, поскольку ионы Al^{3+} замещают ионы Fe^{3+} преимущественно в тетраэдрических позициях, что в соответствии с [4, 5] должно было бы препятствовать росту ЭФ.

Магнитные свойства и параметры доменной структуры

пленок системы $Y_{3-x}Bi_xFe_{5-y}Al_yO_{12}$

Состав пленки	Толщина мкм	Средний диаметр ЦМД мкм	Коэрцитивность H_c , э	Поле одноосной анизотропии H_K , э	Намагниченность насыщения $4\pi M_s$ эс
1	6,9	2,0	1,0	1300	700
2	1,05	1,3	0,5	1500	350

В таблице приведены основные магнитные характеристики пленок и параметры доменной структуры. Видно, что отношение поля одноосной анизотропии H_K к намагниченности насыщения $4\pi M_s$ для обоих составов больше единицы и, следовательно, в пленках возможно стабильное существование цилиндрических магнитных доменов (ЦМД). Полосовые и цилиндрические домены при наблюдении в поляризационном микроскопе обнаружили весьма высокий оптический контраст, что объясняется большими значениями параметра ψ .

Пленки исследованных составов ввиду рекордно высоких значений магнитооптической добротности и существованию в них полосовой и ЦМД доменной структуры с низкой коэрцитивностью, представляют практический интерес для создания магнитооптических устройств на ЦМД и полосовых доменах, в частности, оптических транспарантов для голограмических систем памяти большой емкости.

Литература

- [1] С.А.Медведев, А. М.Балбашов, А.Я.Червоненкис. Сб. "Монокристаллы тугоплавких и редких металлов", изд-во Наука, 1969, стр. 27.
- [2] W.F.Druyvesteyn, J.W.F.Dorleijn, P.J.Rijnsierse. J.Appl. Phys., 44, 2397, 1973.
- [3] W.Shaw Roger, D.E.Hill, R. M.Sandfort, J.W.Moody. J.Appl. Phys., 44, 2346, 1973.
- [4] S.Wittekoek, D.E.Lacklison. Phys. Rev. Lett., 28, 740, 1972.
- [5] S.Wittekoek, Th.S.A.Porha. Тезисы Международной конференции по Магнетизму, СССР, Москва, 1973, 24m—U6.